

CARACTERIZAÇÃO ESPECTRAL DE PLANTIOS DE *Eucalyptus* UTILIZANDO DADOS HIPERESPECTRAIS

SPECTRAL CHARACTERIZATION OF *Eucalyptus* PLANTATION USING HYPERESPECTRAL DATA

Vanessa Canavesi¹, Flávio Jorge Ponzoni¹

¹ Instituto Nacional de Pesquisas Espaciais - INPE, Av. dos Astronautas, 1758, 12.227-010 - São José dos Campos, SP, Brasil, vanessa.canavesi@cptec.inpe.br, flavio@dsr.inpe.br

RESUMO

A disponibilidade de dados hiperespectrais trouxe expectativas nos meios acadêmicos e empresariais quanto à potencialidade de sua aplicação no setor florestal. O objetivo deste trabalho foi avaliar a aplicação de dados hiperespectrais do sensor Hyperion EO-1 na caracterização espectral de plantios de *Eucalyptus* spp. e os efeitos da geometria de iluminação nesse processo. Para avaliar a geometria de iluminação foram utilizados dados topográficos provenientes do SRTM (*Shuttle Radar Topography Mission*) e as condições de iluminação presentes no momento da aquisição da imagem de satélite, gerando assim um fator de iluminação para a área de estudo. Os dados hiperespectrais foram convertidos para valores de FR de superfície, os quais passaram a constituir os dados fundamentais de todo o trabalho. A área de estudo contemplou os plantios do gênero *Eucalyptus* spp., pertencentes à empresa Fibria S.A., localizados no município de Capão Bonito-SP. Foram coletados dados de diferentes espécies e em diferentes etapas de desenvolvimento, o que caracteriza diferenças estruturais nos dosséis dos plantios. As componentes principais foram aplicadas nos dados e foram confeccionados gráficos dos fatores referentes às duas primeiras componentes, dos quais foram extraídas informações estruturais sobre os plantios.

Palavras-chave: Componentes Principais, geometria de iluminação, sensoriamento remoto, SRTM.

ABSTRACT

The availability of the hyperspectral data brought expectations in academic and business circles regarding the potential of its application in the forestry sector. The goal of this work was to evaluate the implementation of hyperspectral data of the Hyperion EO-1 sensor in spectral characterization of the *Eucalyptus* spp. plantations and the effects of illumination geometry in this process. To assess the illumination geometry, topographical data were used from the SRTM (*Shuttle Radar Topography Mission*) and illumination conditions present at the time of the acquisition of satellite image, thereby a factor of illumination for the study area. Hyperspectral data were converted to values of surface FRB, which become the fundamental data of all the work. The study included the plantations of the genus *Eucalyptus* spp., belonging to the company Fibria S.A., located in the Capon Bonito city, state of São Paulo. Were collected data from different species and in different stages of development, structural differences in the plantations canopy. The principals components have been applied to the data and graphics were made of factors relating to the first two components, where they were extracted information about the species studied.

Keywords: Principals components, illumination geometry, remote sensing, SRTM.

INTRODUÇÃO

Desde que as primeiras imagens dos satélites da série Landsat tornaram-se disponíveis à comunidade científica, muitos estudos têm demonstrado a aplicabilidade das informações espectrais para discriminar diferentes fisionomias vegetais. Juntamente com a capacidade de análise multiespectral vieram as limitações da utilização desses dados. Cientistas descobriram que alguns objetos da superfície da Terra e em faixas

espectrais específicas refletem a energia eletromagnética de maneira semelhante, sendo registradas também similarmente quando captadas por um sensor remoto multiespectral (CARVALHO *et al.*, 2004), o que caracteriza a já conhecida ambigüidade dos produtos de sensoriamento remoto.

Outro fator importante e que exerce influência nos resultados da aplicação das técnicas de sensoriamento remoto sobre estudos e/ou avaliação da cobertura florestal, refere-se ao relevo. Dadas as grandes extensões territoriais ocupadas por plantios florestais comerciais, por exemplo, é esperado que estes ocupem terreno com relevo diferenciado. Essa variação de relevo implicará então em diferenças nas quantidades de radiação eletromagnética recebida pelos plantios para um mesmo posicionamento solar. Como consequência, espera-se que um sensor remotamente situado registre diferenças na radiância refletida por plantios florestais, mesmo que estes sejam compostos por indivíduos de mesma espécie e idade, cultivados em um mesmo espaçamento e submetidos a tratamentos culturais idênticos. Esse fato pode ser explicado pelas características anisotrópicas da cobertura vegetal, as quais foram apontadas por LIESENBERG *et al.* (2007), POCEWICZ *et al.* (2007), STEININGER (2000), dentre outros autores.

Além disso, a utilização de dados de sensores remotos no estudo de variáveis estruturais de ambientes florestais pode estar limitada às resoluções espacial e espectral do sensor utilizado, à variabilidade espectral das folhas que compõem os dosséis analisados, às reflectâncias adicionais à folhagem como, por exemplo, o sub-bosque, a estrutura da vegetação, as condições de iluminação e a arquitetura da copa (GONG *et al.*, 1997; GOODWIN *et al.*, 2005).

Novos sensores foram desenvolvidos dotados de aperfeiçoamentos significativos nos domínios radiométrico, espacial e espectral bem como na relação sinal-ruído. A alta resolução espacial pode facilitar a localização e o delineamento de copas individuais enquanto que a alta resolução espectral pode facilitar a identificação de feições relacionadas às propriedades biofísicas e bioquímicas (GROSS e SCOTT, 1998). A disponibilidade de dados hiperespectrais aerotransportados e orbitais trouxe expectativas positivas ao setor florestal. Os dados coletados em bandas estreitas e de forma contígua no espectro eletromagnético podem permitir, por exemplo, a identificação de diferenças estruturais e bioquímicas decorrentes da adoção de tratos culturais diferenciados, auxiliando assim no processo de tomada de decisão no cotidiano de empresas florestais.

Sensores hiperespectrais geram um grande volume de dados e técnicas adicionais podem ser requeridas para analisar estes dados e uma delas é a Análise das Componentes Principais. O cálculo das componentes principais é um método bem conhecido de transformação estatística muito utilizada no sensoriamento remoto e visam a geração de imagens não correlacionadas com o objetivo de separar ruídos das imagens e ainda para reduzir a dimensionalidade dos dados. Isso é feito reescrevendo as coordenadas de amostras em outro sistema cartesiano, ou seja, as variáveis originais geram, por meio de combinações lineares, componentes principais em um número igual às variáveis de entrada. As componentes principais são então obtidas em ordem decrescente de variância onde a componente principal 1 retém mais informação estatística que a componente principal 2 e assim por diante e última componente principal geralmente contém ruídos (JOLLIFFE, 2002; RICHARDS e JIA, 2006).

O presente trabalho teve como objetivo principal caracterizar espectralmente plantações do gênero *Eucalyptus* spp., se desenvolvendo em diferentes posições do terreno (condições de iluminação) e em estágios de desenvolvimento distintos. Para isso foram utilizados dados hiperespectrais do sensor Hyperion e dados topográficos do SRTM (*Shuttle Radar Topography Mission*) e a análise de componentes principais.

METODOLOGIA

A área de estudo compreende os plantios florestais do gênero *Eucalyptus* spp. pertencentes à empresa Fibria S.A., situados no município de Capão Bonito (Figura 1) na Região Sudoeste do Estado de São Paulo, a 24°00'14" latitude sul e a 48°20'54" longitude oeste. Nesta posição há diferenças angulares do Sol nas diferentes estações do ano. Distanto a 226 Km da capital, abrange uma área de 1.642 Km² e com altitude média é de 705 m. O Município de Capão Bonito está localizado na Depressão Periférica Paulista e na Depressão do Paranapanema. O relevo predominante nesta unidade é constituído basicamente por colinas de topos convexos e tabulares. As altimetrias predominantes estão entre 600 e 700 m e as declividades das

vertentes entre 10 e 20% (ROSS e MOROZ, 1997). Tais características geomorfológicas apontam para um relevo ondulado, o que implica em localidades com diferentes níveis de iluminação.

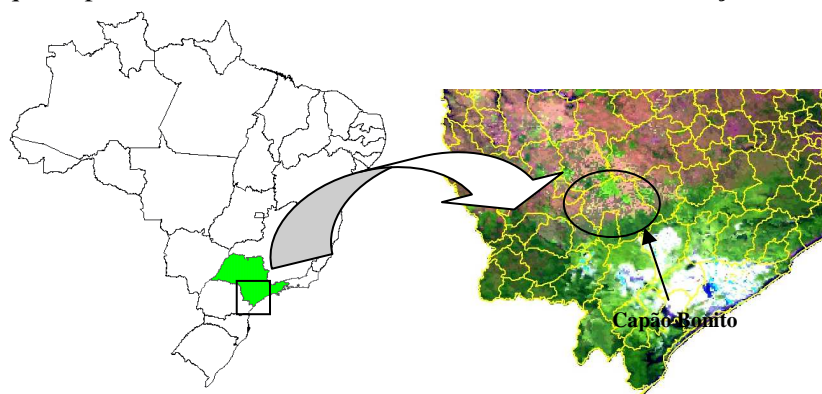


Figura 1. Localização da área de estudo
Figure 1. Study area location.

Para o presente trabalho foram utilizados dados do sensor Hyperion EO-1, o qual gera imagens com altas resoluções radiométrica (16 bits) e espectral com 242 bandas estão distribuídas no espectro eletromagnético (356 a 2578 nm) de maneira contígua. A resolução espacial das imagens geradas é de 30 m e cada cena gerada possui 7,7 Km de largura por 42 Km de extensão (BECK, 2003). O pré-processamento da imagem Hyperion EO-1 é uma etapa fundamental antes da análise dos dados, pois este sensor encontra-se em uma plataforma orbital e opera em bandas estreitas, possuindo então uma relação sinal ruído modesta (~50:1) o que, juntamente com os efeitos atmosféricos, demanda uma etapa de pré-processamento, a qual inclui a correção atmosférica e a minimização dos ruídos na imagem (DATT *et al.*, 2003).

Foi adquirida uma imagem catálogo do dia 20 de agosto de 2003, a qual foi submetida a processo de correções atmosféricas, geométricas e eliminação de ruídos, resultando em uma imagem georreferenciada contendo o Fator de Reflectância (FR) de superfície. Maiores detalhes podem ser obtidos em CANAVESI (2008).

Os dados topográficos da área de estudo foram gerados por VALERIANO (2004) e utilizaram como base dados SRTM (Shuttle Radar Topography Mission), a qual foi extraída da Internet, no endereço da USGS (United States Geological Survey), onde os dados estão disponíveis com uma resolução espacial de 3" ou 90 m. O Modelo Digital de Elevação (MDE) original, derivado do SRTM foi convertido para um novo modelo, onde algumas características foram melhoradas como a resolução espacial de 3" para 1", remoção de falhas, redução de artefatos e distribuição da aleatoriedade. A interpolação por krigeagem foi utilizada para gerar o novo MDE. Foram geradas também variáveis básicas locais, obtidas com operações de vizinhança, como a declividade do terreno ou ângulo zenital, orientação das vertentes ou ângulo azimuthal (VALERIANO, 2005). Essas informações permitiram a identificação de locais que, no momento da passagem do satélite, tivessem condições de iluminação idênticas. Para isso foi calculado o Fator de Iluminação o qual é demonstrado na Equação 1 (VALERIANO, 2006):

$$FI = \sqrt{((\cos(\varphi_{x,y} - \varphi_s) + (\cos(\theta_{x,y} - \theta_s)))^2} \quad (1)$$

Onde:

$\varphi_{x,y}$ = orientação das vertentes ou imagem azimuth

φ_s = azimuth solar (no momento de aquisição da imagem)

$\theta_{x,y}$ = declividade ou imagem zênite

θ_s = zênite solar (no momento de aquisição da imagem)

Essa equação não contempla o ângulo de visada do sensor, pois o mesmo se encontra ao nadir. A equação foi inserida no aplicativo ENVI 4.2 e, por meio da ferramenta matemática de bandas, foi gerada a imagem "Fator de Iluminação". A imagem resultante foi fatiada em cinco classes descritas a seguir: uma classe onde as árvores estariam plantadas em terreno plano e recebendo raios solares de maneira uniforme, denominada plano. Duas classes onde as árvores estavam se desenvolvendo em terreno inclinado e recebendo iluminação direta (muito iluminado e iluminado) e duas classes também em terreno inclinado, porém recebendo iluminação de forma indireta (pouco iluminado e escuro). Utilizando o processo de fatiamento, foi gerada

uma imagem temática no aplicativo SPRING 4.2. A classe muito iluminado foi descartada, pois havia poucos pixels representantes na área de estudo.

Foram coletadas amostras de FR de superfície contemplando indivíduos de diferentes idades e se desenvolvendo em diferentes condições de iluminação. De posse da planilha com os valores do FR de superfície para todas as amostras coletadas, foram plotados os gráficos para cada espécie e em diferentes condições de iluminação.

Considerando a relativa similaridade entre curvas do FR de superfície provenientes de diferentes tipos de dosséis (no caso deste trabalho, de diferentes plantios florestais), foi aplicada a técnica de componentes principais, objetivando a identificação ou a quantificação de diferenças nessas curvas. Para isso, foram calculadas as componentes principais no aplicativo SPSS (Statistical Package for the Social Sciences) versão 10.0. Utilizando os autovetores gerados para cada banda, foram calculadas as imagens Componente Principal 1 e 2 por meio da ferramenta Band Math do ENVI 4.2., para os sensores Hyperion. Os fatores gerados para cada amostra e referente foram salvos em uma tabela os quais foram utilizados para a seleção das amostras de treinamento.

RESULTADOS

Cálculo do fator de iluminação e definição de classes de iluminação

Para a imagem Hyperion de 20/08/2003 foram utilizados os seguintes dados de entrada na Equação 1, considerando o horário de passagem do satélite e as coordenadas geográficas da área de estudo que definiram o posicionamento solar e do sensor.

$\varphi_{x,y}$ = orientação das vertentes ou imagem azimuth

φ_s = azimuth solar = 46,150468

$\theta_{x,y}$ = declividade ou imagem zênite

θ_s = zênite solar = 49,522817

A imagem obtida pelo cálculo do fator de iluminação continha valores variando entre 0,65 a 1,39. Os valores menores que 1 indicam vertentes voltadas para o lado oposto ao Sol, ou seja, pixels com pouca iluminação ou escuros. Valores maiores que 1 indicam vertentes voltadas para o Sol, ou seja, pixels iluminados e valores muito próximo a 1 indicam locais planos. Essa imagem foi fatiada em cinco classes arbitrariamente definidas: muito iluminado (1,242 a 1,39), iluminado (1,094 a 1,242), plano (0,946 a 1,094), pouco iluminado (0,798 a 0,946) e escuro (0,650 a 0,798). A Figura 2 mostra uma fração da área de estudo discretizada nas classes de iluminação estabelecidas e o posicionamento dos talhões (em vermelho). A classe de iluminação “muito iluminado” foi descartada, pois não havia amostras suficientes (número de pixels) nos talhões analisados.

Caracterização espectral dos dosséis de *Eucalyptus*

No presente trabalho foram analisadas curvas espectrais de espécies presentes na área de estudo que se desenvolviam em talhões nas quatro classes de iluminação consideradas. As espécies foram denominadas por números, pois se tratam de clones geneticamente melhorados e que, na maioria das vezes, não correspondem a uma única espécie e sim uma associação delas. Vale salientar que as espécies 5 e 6 estavam com 7 anos de idade em 2003, as espécies 1 e 3 com 3 anos e a espécie 4 com 2 anos.

Quando os espectros referentes às espécies são transferidos para um gráfico, estes podem assumir formas e amplitudes similares para indivíduos diferentes, quais sejam espécies ou idades, comprovando a ambigüidade dos produtos obtidos por sensores remotos. Na Figura 3 foram gerados gráficos dos espectros médios para as espécies 5 e 6. No primeiro gráfico os espectros se sobrepõem, porém quando consideramos diferentes condições de iluminação, estes espectros se diferenciam principalmente na região do infravermelho próximo (700 a 1300 nm). Esse fato, no entanto, não se deve a diferenças estruturais nos plantios e sim a diferenças nas condições de iluminação, decorrentes das variações do relevo, no momento em que a imagem foi adquirida.

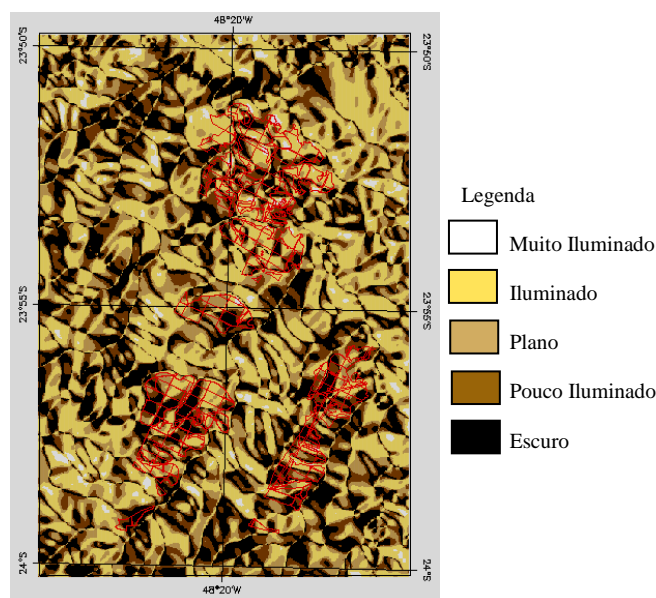


Figura 2. Classes de iluminação referentes à imagem de 2003.

Figure 2. Illumination classes for 2003 image.

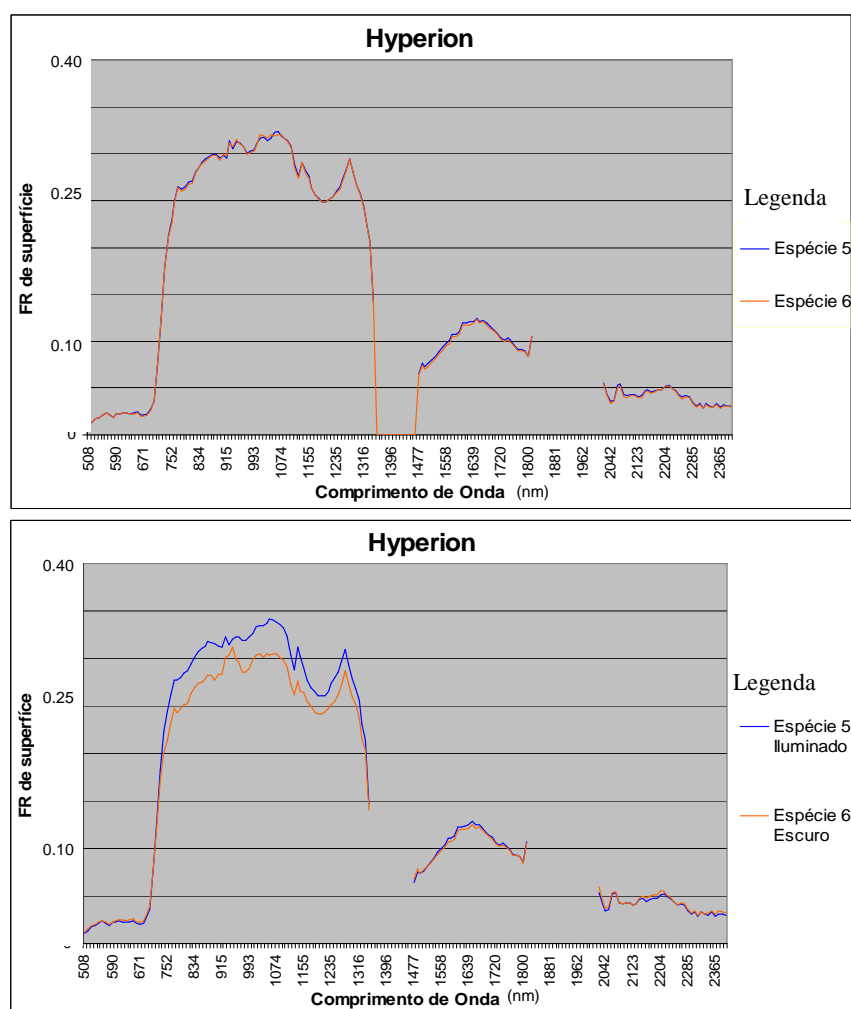


Figura 3. Comparação entre os espectros médios para espécies sem considerar a iluminação (acima) e os espectros para duas diferentes classes de iluminação.

Figure 3. Comparison between the spectra average for the species without considering the illumination (above) and the spectra for two different classes of illumination.

Observa-se, portanto, que a análise sobre curvas espectrais, assim como fazem profissionais que as utilizam para identificar a presença de componentes químicos em solos, por exemplo, para o caso da cobertura vegetal, não constitui prática que resulte em algo trivial de ser concluído. Assim, uma abordagem alternativa pode ser o emprego da análise de componentes principais.

Foram confeccionados gráficos a partir dos fatores referentes às PCs 1 e 2 para as amostras de FR de superfície coletadas. Esse gráfico é apresentado na Figura 4.

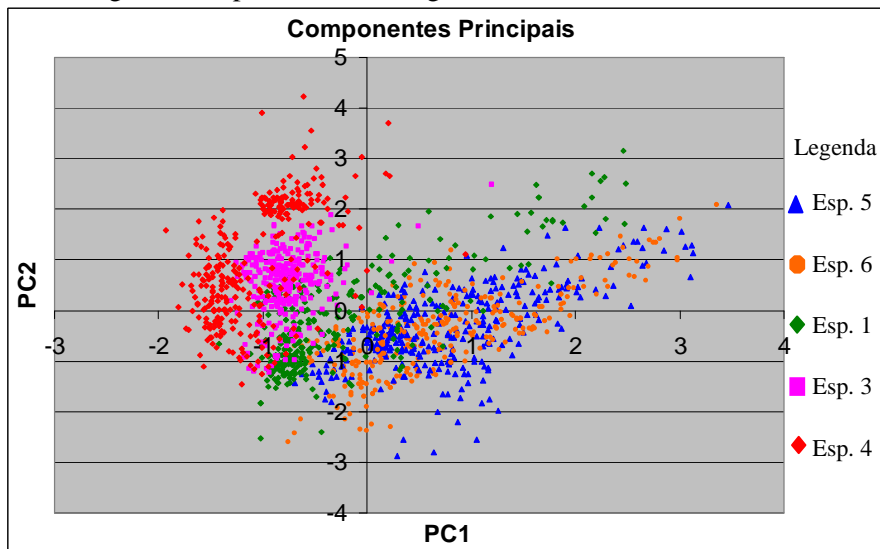


Figura 4. Primeiros dois fatores referentes às componentes principais 1 e 2 para as espécies de *Eucalyptus* spp.
Figure 4. The first two factors for the principals components 1 and 2 for the species of *Eucalyptus* spp.

A análise deste gráfico é similar àquela que seria realizada a partir das componentes *Brightness* e *Greenness* (Figura 5) descritas por KAUTH e THOMAS (1976), ou seja, no eixo “y” destes gráficos os maiores valores estariam associados às maiores proporções de vegetação dentro de um determinado pixel, enquanto que em “x”, os maiores valores estariam associados à maior participação do solo ou neste estudo, de dosséis melhor iluminados. Nesse contexto e considerando ainda a conceituação já apresentada das componentes principais, espera-se que amostras dos dosséis mais velhos e com menos biomassa foliar se posicionem à direita, apresentando valores positivos no eixo x ou PC1. Já os dosséis mais jovens e com maiores valores de biomassa foliar, tendem a se posicionar mais à esquerda e na porção superior desse gráfico, ou seja, valores negativos para o eixo x.

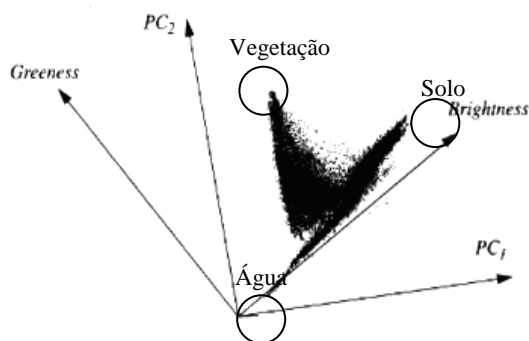


Figura 5. Distribuição hipotética dos pixels de uma imagem de um sensor remoto nos conceitos das componentes principais (PC1 e PC2) e Brightness e Greenness.

Figure 5. Hypothetical Distribution of pixels in an image of a remote sensor in concepts of core components (PC1 and PC2) and Brightness and Greenness.

O posicionamento das amostras dentro desse espaço bidimensional é dependente das propriedades espectrais de cada um dos dosséis (plantios) considerados nesse estudo. Explicam esse posicionamento então as características espectrais dos elementos que compõem os dosséis como folhas, galhos, troncos e substrato

(solo ou material vegetal derramado); a iluminação e a arquitetura dos indivíduos que compõem os dosséis. Evidentemente que intrínsecos a todos esses aspectos estão àqueles ligados à idade, aos espaçamentos adotados nos plantios e às espécies.

Observando a Figura 4 é possível verificar que existem dois agrupamentos: um conjunto de pontos obtidos a partir das amostras de dosséis mais velhos (espécies 5 e 6) e outro conjunto de pontos obtidos a partir de dosséis mais jovens (espécies 1, 3 e 4). As espécies jovens apresentam dosséis com grande quantidade de biomassa foliar e um conseqüente maior adensamento do dossel com menor penetrabilidade da luz solar.

Os dosséis das espécies 5 e 6 eram mais velhos, com cerca de 7 anos de idade, verificando-se então o inverso do que foi encontrado em dosséis jovens, o seja, pouca biomassa foliar e dossel mais aberto. As espécies 3 e 4, localizadas na parte superior do gráfico, o que indica que seus dosséis apresentam maior quantidade de cobertura vegetal. A espécie 1 está posicionada na parte inferior esquerda, local representado por pixels referentes a corpos d'água ou regiões mais sombreadas da imagem.

Quando a iluminação é considerada, é possível então identificar condições de iluminação em que as espécies se diferenciam (Figura 6). As espécies 5 e 6 que estavam quase que sobrepostas na Figura 4, se distanciam em condições de iluminação distintas (pixels coletados em locais iluminados e escuros). O mesmo ocorre para as demais espécies analisadas (1, 3 e 4), porém as amostras das espécies 3 e 4 coletadas nas mesmas condições de iluminação se separam e a espécie 1 se separa das demais em amostras coletadas em locais escuros da imagem.

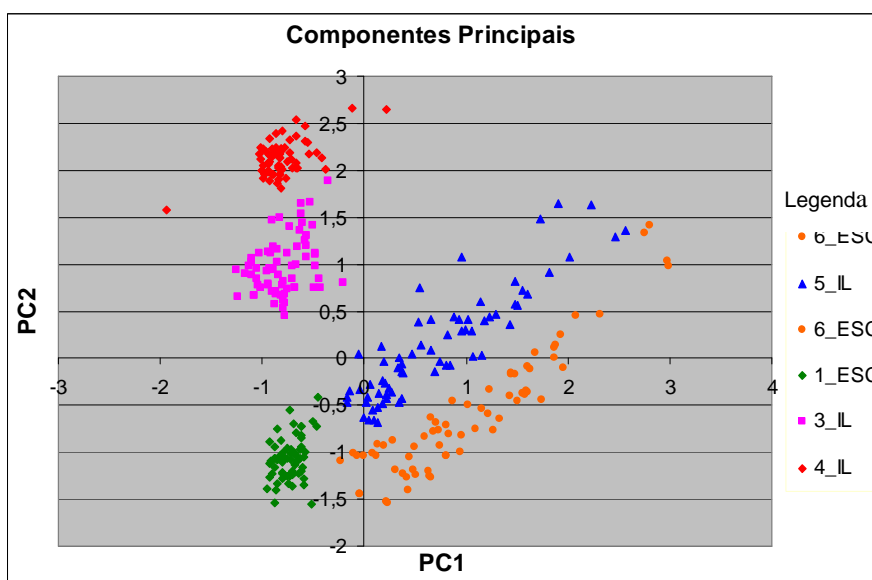


Figura 6. Primeiros dois fatores referentes às componentes principais 1 e 2 (PC1 e 2) para as cinco espécies de *Eucalyptus* spp. em diferentes classes de iluminação (IL=iluminados; ESC=escuros).

Figure 6. The first two factors for the principals components 1 and 2 (PC1 and (2) for the five species of *Eucalyptus* spp. in different illumination classes (IL = lit; ESC = dark).

A análise das componentes principais auxiliam então na caracterização espectral da cobertura vegetal, pois através dela facilita-se a análise dos fatores que influenciariam nessa caracterização.

CONCLUSÕES

As componentes principais reduzem a dimensionalidade de dados oriundos de sensores hiperespectrais e sua análise de permite uma visualização dos dados em um gráfico de duas dimensões, de onde é possível extrair informações relevantes. No estudo de plantios florestais foi possível identificar indivíduos com idades diferentes e, conseqüentemente, com propriedades estruturais distintas. A geometria de iluminação exerce influência no processo de caracterização espectral de dosséis do gênero *Eucalyptus* utilizando dados de um

sensor remoto. Quando ela foi considerada, foi possível separar espectralmente as amostras coletadas para as 5 espécies em diferentes idades.

REFERÊNCIAS

- BECK, R. *EO-1 User Guide*. 2003, 74 p. On line, disponível em: <http://eo1.usgs.gov/documents.php>). Acesso em: 02 mai, 2010.
- CANAVESI, V. *Aplicação de dados Hyperion EO-1 no estudo de plantações de Eucalyptus spp.* 2008. 124 p. (INPE-15316-TDI/1360). Tese (Doutorado em Sensoriamento Remoto) - Instituto Nacional de Pesquisas Espaciais, São José dos Campos. 2008. Disponível em: <http://mtc-m18.sid.inpe.br/col/sid.inpe.br/mtc-m18%4080/2008/07.01.14.06/doc/publicacao.pdf>
- CARVALHO, L.M.T. *et al.* Selection of imagery data and classifiers for mapping Brazilian semideciduous Atlantic forests. *International Journal of Applied Earth Observation and Geoinformation*, v. 5, p. 173-186, 2004.
- DATT, B. *et al.* Preprocessing EO-1 Hyperion hyperspectral data support the application of agricultural indexes. *IEEE Transactions on Geoscience and Remote Sensing*, v. 41, n. 6, p. 1246-1259, 2003.
- GONG, P. *et al.* Conifer species recognition: an exploratory analysis of in situ hyperspectral data. *Remote Sensing of Environment*, v. 62, p. 189-200, 1997.
- GOODWIN, N. *et al.* Classifying Eucalyptus forests with high spatial and spectral resolution imagery: an investigation of individual species and vegetation communities. *Australian Journal of Botany*, v. 53, n. 4, p. 337-345, 2005.
- GROSS, H.; SCOTT, J. Applications of spectral analysis and image fusion techniques or images sharpening. *Remote Sensing of Environment*. v. 63, p. 85-94, 1998.
- JOLLIFFE, I.T. *Principal component analysis*. 2. Ed. UK: Springer, 2002. 487 p.
- KAUTH, R.J.; THOMAS, G.S. The tasseled cap- a graphic description of the spectral-temporal development of agricultural crops as seen by Landsat. In: SYMPOSIUM ON MACHINE PROCESSING OF REMOTELY SENSED DATA, 1976. Indiana. *Proceedings of Symposium on Machine Processing of Remotely Sensed Data*. Edited by Purdue University, Indiana, 1976. p. 4B-41-4B-50.
- LIESENBERG, V. *et al.* Variations in reflectance with seasonality and viewing geometry: implications for classification of Brazilian savannah physiognomies with MISR/Terra data. *Remote Sensing of Environment*, n. 107, p.276-286, 2007.
- POCEWICZ, A. *et al.* View angle effects on relationships between MISR vegetation indices and leaf area index in a recently burned ponderosa pine forest. *Remote Sensing of Environment*, n. 107, p. 322-333, 2007.
- RICHARDS, J.A.; JIA, X. *Remote sensing digital image analysis: an introduction*. 4ª Ed. Germany: Springer, 2006. 439 p.
- ROSS, J.L.S; MOROZ, I.C. *Mapa geomorfológico do Estado de São Paulo*. v. 1, Escala 1:500.000. 1997.
- STEININGER, M.K. Satellite estimation of tropical secondary forest above ground biomass: data from Brazil and Bolivia. *International Journal of Remote Sensing*, n. 21, p. 1139-1157, 2000.
- VALERIANO, M.M. *Equação para o cálculo do fator de iluminação*. São José dos Campos, SP, 2006.
- VALERIANO, M.M. Modelo digital de variáveis morfométricas com dados SRTM para o território nacional: o projeto TOPODATA. In: SIMPÓSIO BRASILEIRO DE SENSORIAMENTO REMOTO, 12, 2005. Goiânia. *Anais do XII Simpósio Brasileiro de Sensoriamento Remoto*, Goiânia, Editado por INPE, 2005. p. 3595-3602.
- VALERIANO, M.M. *Modelo digital de elevação com dados SRTM disponíveis para a América do Sul*. São José dos Campos, SP: INPE, 2004. 72 p.